

Figura E.1. Distribución de fuerzas cuando la armadura se encuentra trabajando bajo una carga permanente y una sobrecarga total de nieve (Maquinista Terrestre y Marítima S.A.).



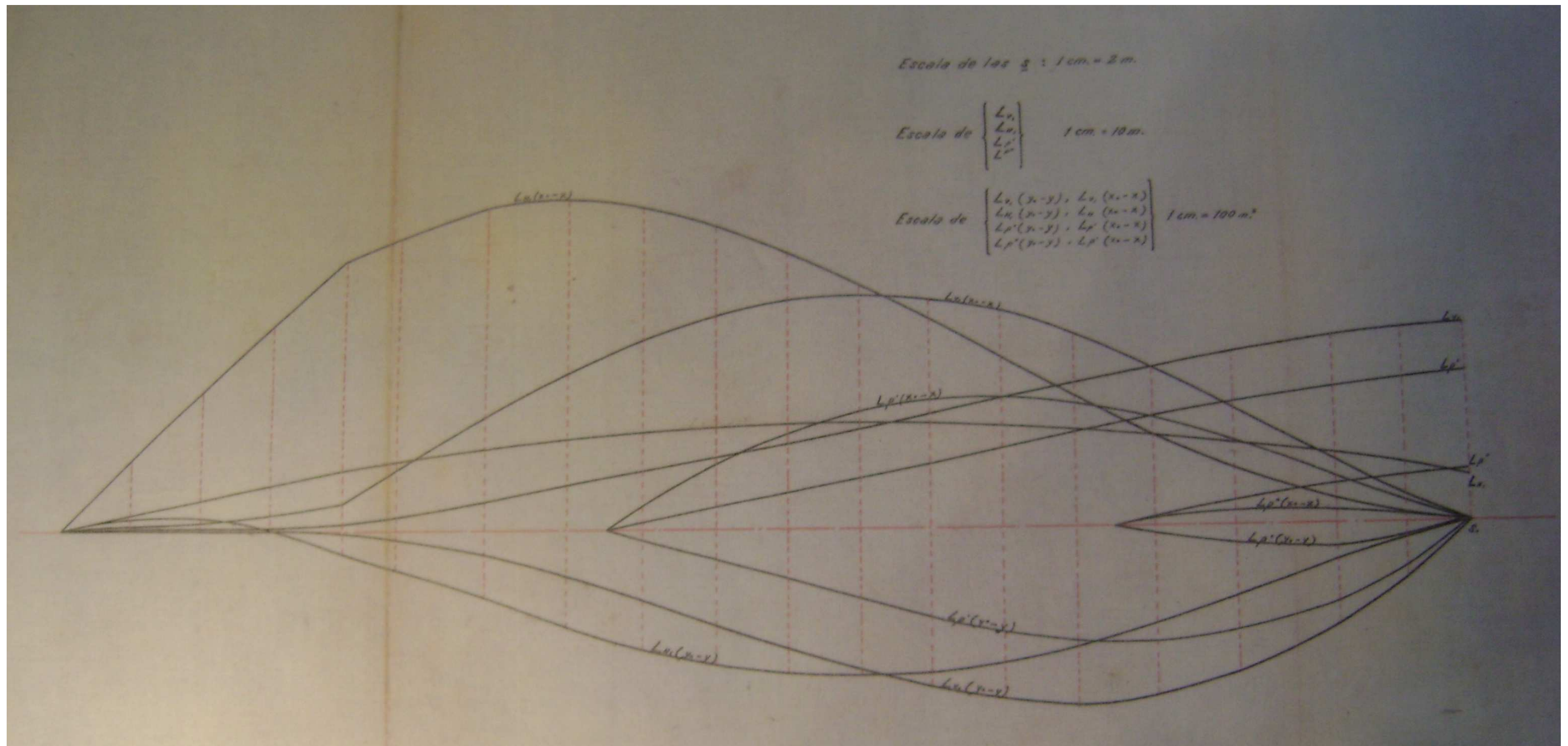


Figura E.2. Determinación gráfica de las integrales bajo una carga permanente y una sobrecarga total de nieve (Maquinista Terrestre y Marítima S.A.).

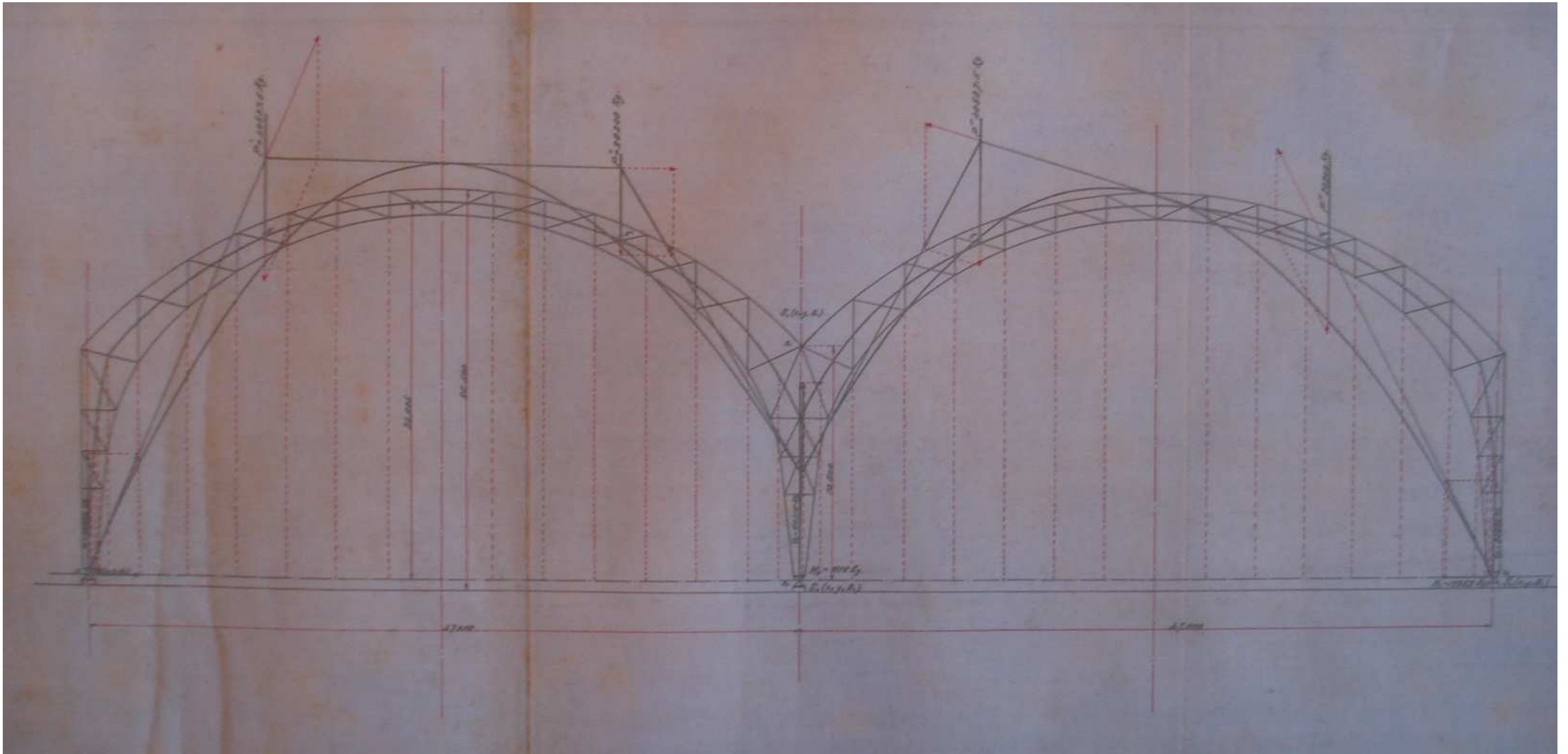


Figura E.3. Distribución de fuerzas cuando la armadura se encuentra trabajando bajo una carga permanente y una sobrecarga parcial de nieve (Maquinista Terrestre y Marítima S.A.).



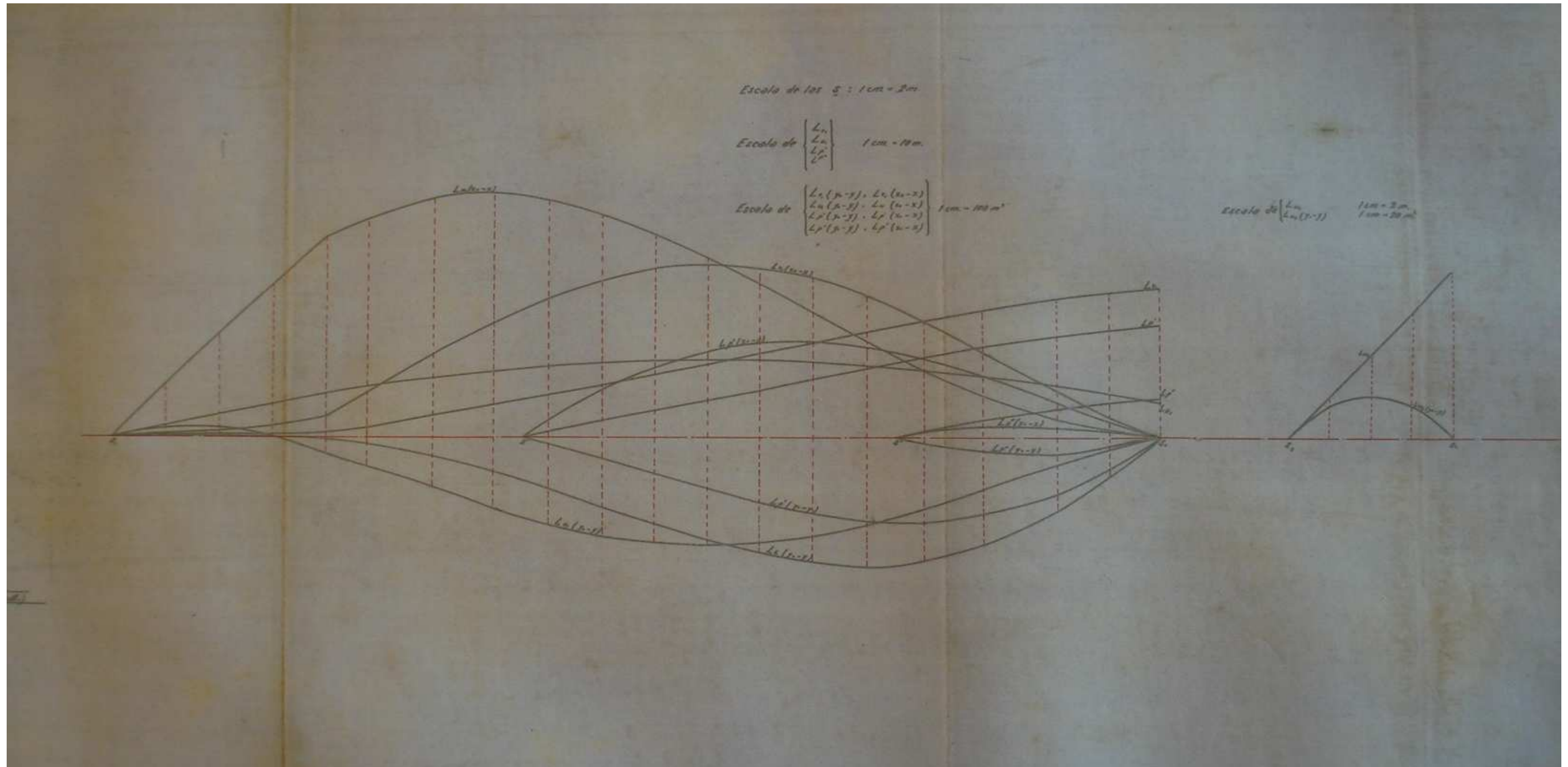


Figura E.4. Determinación gráfica de las integrales bajo una carga permanente y una sobrecarga parcial de nieve (Maquinista Terrestre y Marítima S.A.).



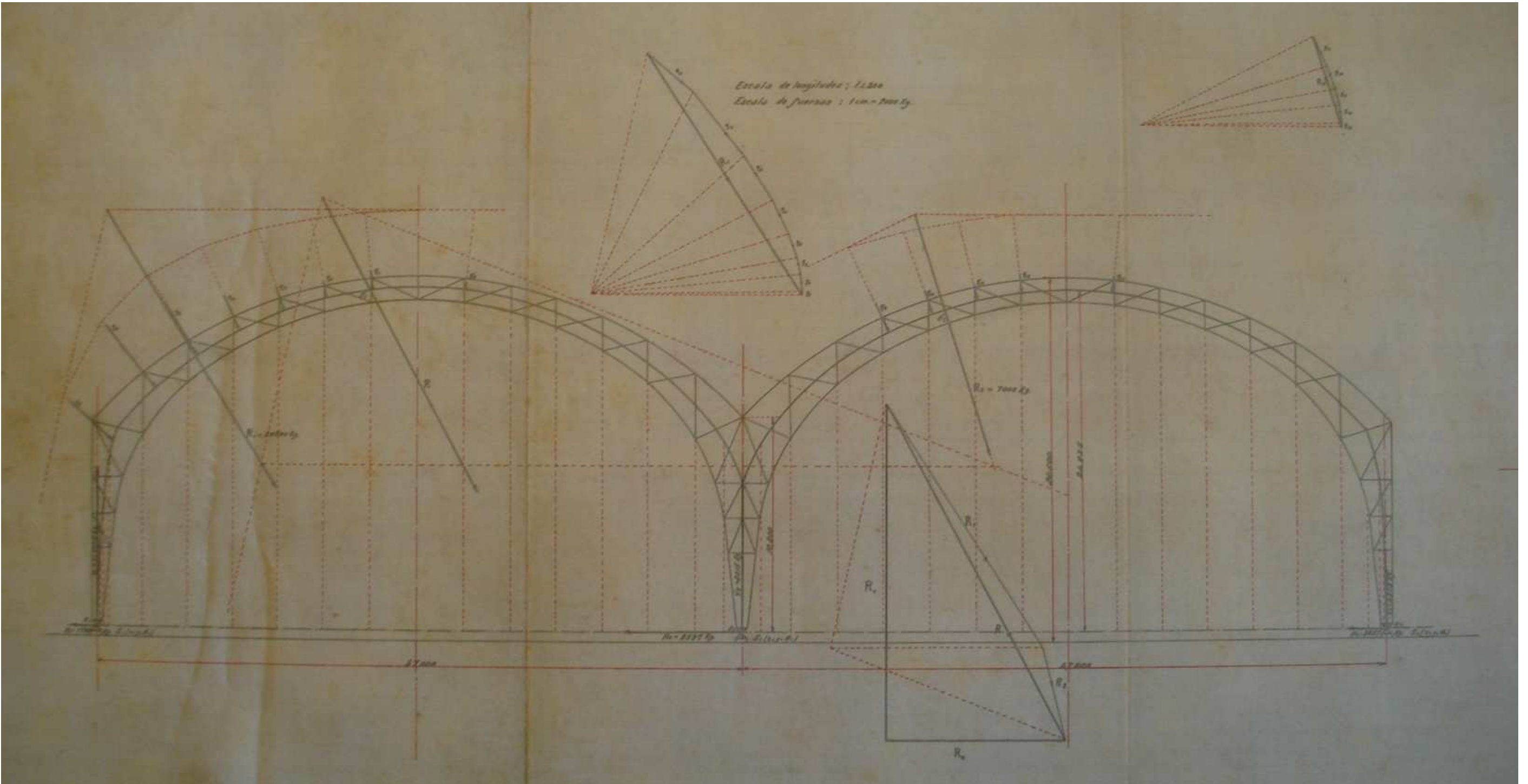


Figura E.5. Determinación gráfica de las fuerzas generadas por el viento sobre la cubierta (Maquinista Terrestre y Marítima S.A.).



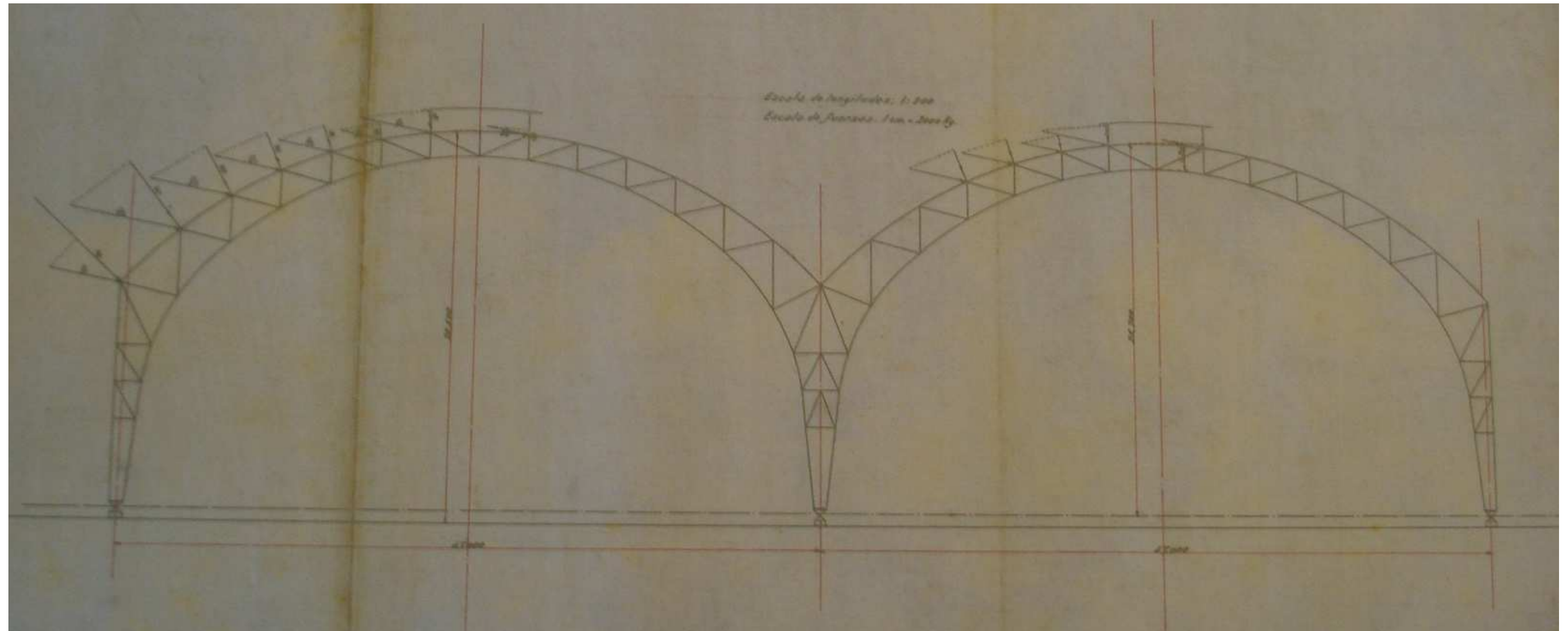


Figura E.6. Distribución de fuerzas cuando la armadura se encuentra trabajando bajo una sobrecarga de viento (Maquinista Terrestre y Marítima S.A.).

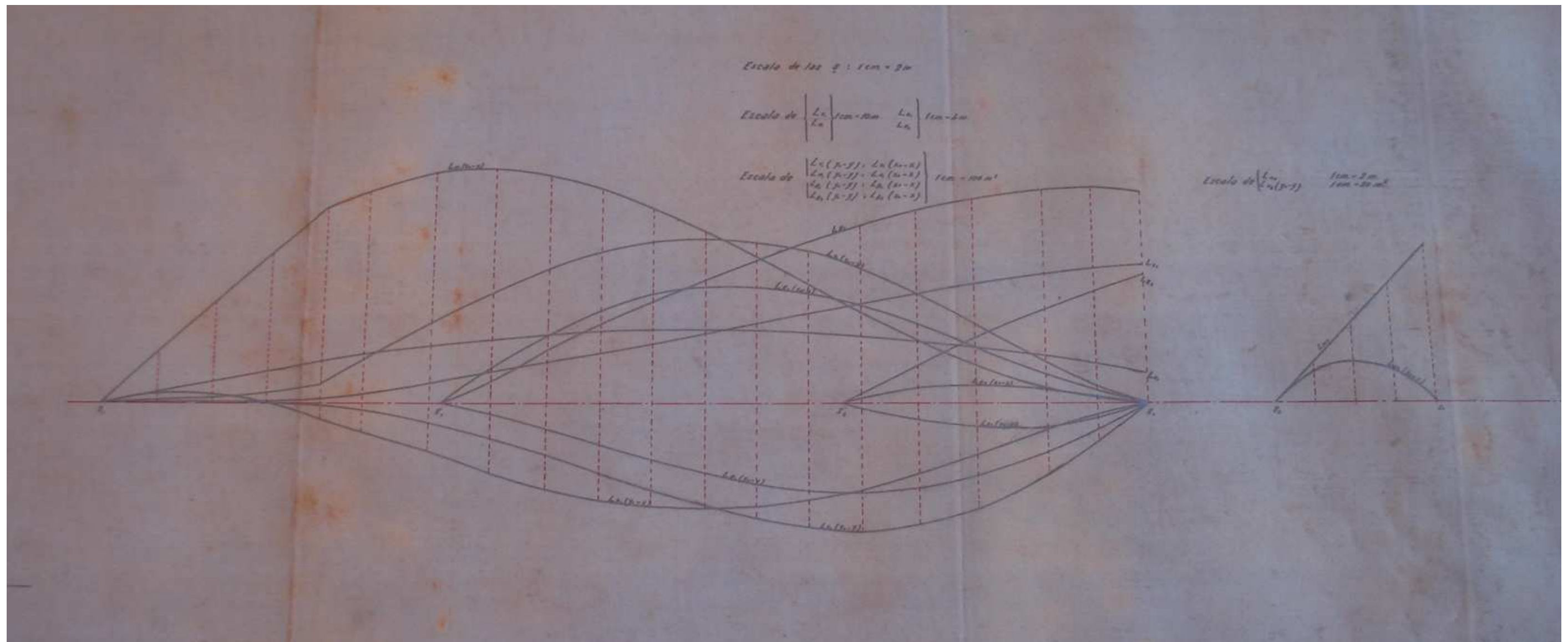


Figura E.7. Determinación gráfica de las integrales bajo una sobrecarga de viento (Maquinista Terrestre y Marítima S.A.).

